

基于 SM9 的环签名：常数级计算开销的方案构造

谢振杰^{1,2}, 刘胜利¹, 贾志鹏¹, 翟锦源¹, 刘成¹

(1. 信息工程大学网络空间安全教育部重点实验室, 河南 郑州 450001; 2. 中国人民解放军 78156 部队, 重庆 400039)

摘要: 针对现有标识环签名方案的性能瓶颈, 提出一种基于国密算法 SM9 的高效环签名方案。通过优化群运算结构, 将签名与验证的计算开销从线性级降至常数级, 显著提升了标识环签名的计算性能。现有标识环签名方案需对环成员逐项执行双线性对或标量乘等耗时运算, 而所提方案将环成员信息转移至轻量的有限域运算, 使耗时运算次数与环规模无关。在随机预言机模型下, 证明了所提方案满足不可伪造性和完全匿名性。实验表明, 当环成员数量为 1 024 时, 所提方案的签名和验证耗时分别为 37.06 ms 和 48.59 ms, 较现有最优方案提升 241.61 倍和 10.11 倍, 即使计入线性的通信开销, 其综合效率仍有明显优势。

关键词: 环签名; SM9 算法; 基于标识的密码; 常数级开销; 国密算法

中图分类号: TP309.7

文献标志码: A

DOI: 10.11959/j.issn.1000-436x.2025217

SM9-based ring signature: a scheme with constant-time computational overhead

XIE Zhenjie^{1,2}, LIU Shengli¹, JIA Zhipeng¹, ZHAI Jinyuan¹, LIU Cheng¹

1. Key Laboratory of Cyberspace Security, Ministry of Education, Information Engineering University, Zhengzhou 450001, China
2. Unit 78156 of the Chinese People's Liberation Army, Chongqing 400039, China

Abstract: To address the performance bottleneck of existing identity-based ring signature schemes, an efficient scheme based on the Chinese national cryptographic standard SM9 was proposed. By optimizing the group operation structure, the computational overhead of signing and verification was reduced from linear to constant time, leading to a substantial improvement in performance. In contrast to existing schemes requiring computationally intensive operations (e.g., bilinear pairings or scalar multiplications) per ring member, the proposed scheme shifted member-related calculations to lightweight finite field operations, thus maintaining a fixed count of computationally intensive operations regardless of ring size. Under the random oracle model, the scheme was demonstrated to achieve existential unforgeability and full anonymity. Experimental evaluations indicate that for a ring size of 1 024, signing and verification times are 37.06 ms and 48.59 ms respectively, representing performance gains of $241.61\times$ and $10.11\times$ over current state-of-the-art alternatives. The overall efficiency retains a significant advantage even when considering linear communication overhead.

Keywords: ring signature, SM9 algorithm, identity-based cryptography, constant-time overhead, domestic cryptographic algorithm

收稿日期: 2025-09-13; 修回日期: 2025-11-12

通信作者: 刘胜利, mr_shengliliu@163.com

基金项目: 装备预先研究基金资助项目(No.30603010601)

Foundation Item: Equipment Pre Research Project (No.30603010601)

0 引言

环签名作为一种特殊的数字签名方案,由 Rivest 等^[1]于 2001 年首次提出,其核心思想是允许签名者代表一个潜在签名群体(称为环)对消息进行签名,同时保持签名者在环中的匿名性。相较于群签名,环签名不需要设置群管理员,成员间地位平等且不需要协作。尽管早期方案因签名数据呈环状结构而得名,但后续研究表明,只要满足自发性和匿名性要求,即使非环状结构也可归类为环签名^[2]。环签名凭借其不可伪造性和匿名性,在区块链^[2]、电子投票^[3]、数字货币^[4]及多方计算^[5]等隐私敏感领域展现出重要应用价值。自该概念提出以来,研究者已基于不同密码学原语开发了多种环签名方案,包括 RSA^[1]、离散对数^[6]、双线性对^[7]和格理论^[8]等实现方式。

传统环签名方案依赖公钥基础设施(PKI, public key infrastructure),但 PKI 体系存在证书管理复杂、验证效率低下等问题,尤其在环规模较大时,频繁的证书请求易导致系统性能瓶颈。基于标识的密码体制(IBC, identity-based cryptography)通过将用户身份直接作为公钥,规避了 PKI 的证书管理难题,提升了系统效率。我国自主设计的国密算法 SM9 是一种基于椭圆曲线双线性对的 IBC,其涵盖数字签名、密钥交换、密钥封装和加密^[9-10]。相较于 RSA 等传统公钥密码,SM9 在相同安全强度下具有更短的密钥长度和更高的计算效率,同时避免了 PKI 的运维负担。近年来,基于 SM9 的 IBC 应用方案研究已取得显著进展,包括环签名^[11-14]、可搜索加密^[15]、属性签名^[16]、代理重加密^[17]及容错加密^[18]等。

本文在 SM9 数字签名算法的基础上,设计了一种标识环签名(IBRS, identity-based ring signature)方案,主要贡献在于将签名与验证过程中原本与环规模线性相关的耗时运算全部压缩至常数级,实现了计算性能的突破。在随机预言机(RO, random oracle)模型下,严格证明了方案满足不可伪造性和完全匿名性的安全要求。理论分析与实验表明,所提方案的签名与验证效率显著优于现有同类方案,在环规模较大时有数量级上的提升。由于目前尚无可靠方法在动态环时实现严格常数级计算开销,本文中的“常数级计算开销”指所有耗时运算的次数均为常数,其在常见的环规模下具有近似常数级的性能表现。

1 相关工作

Zhang 等^[7]开创了 IBRS 研究,后续工作多沿用双线性对技术^[19-21]。Brakerski 等^[22]建立了将数字签名转化为环签名的一般框架,但其计算和通信开销均与环成员数量 n 成线性关系,效率瓶颈明显。为突破这一限制,Dodis 等^[23]首次基于累加器实现了常数级环签名长度,且验证时间与环规模无关。Nguyen^[24]和 Hu 等^[25]进一步结合累加器与双线性对,构建了具有常数级环签名长度的 IBRS 方案。

近年来,国密算法与环签名的融合研究从参考成熟的国际密码方案逐渐向算法自主设计转变,取得了一系列成果。彭聪等^[11]首次将 SM9 算法引入环签名设计,较此前基于国际标识密码的同类方案压缩了环签名长度,但计算和通信开销都与 n 线性相关。邓浩明等^[26]提出了基于 SM9 的门限环签名方案,因验证阶段的双线性对次数与门限值线性相关,计算效率受限。饶金涛等^[3]描述了基于 SM9 的盲签名和环签名方案,并应用于电子投票,因其验证算法未纳入签名者私钥要素,存在重放攻击风险。安浩杨等^[13]首次基于 SM9 提出了常数级环签名长度的方案,但累加器的引入使公共参数与最大环成员数线性相关,此外,该方案的设计思路和计算过程比较复杂,安全性证明不够充分,仅在环较大($n > 20$)时签名长度才小于文献[11]方案。谢振杰等^[12]在文献[11]基础上提出的方案将最耗时的双线性对等效替换后,计算效率提升超过 1 倍,签名长度减小近一半。谢振杰等^[14]采用累加器实现了常数级环签名长度的 SM9 可追踪环签名方案,强化了安全性证明工作,计算过程较文献[13]方案大幅简化,计算效率有所提升,签名长度减小近 80%。然而,文献[13-14]均假定由累加器的构造者向用户直接提供累加器以实现常数级计算开销,但该假设要求构造者提前获知环成员和签名者信息并保持在线,局限性较大。若由用户自行计算累加器,则文献[13-14]的计算开销都与 n 线性相关,面对更大的环规模(如 $n > 1\ 000$)时仍会产生高延迟。上述基于 SM9 设计的 IBRS 方案既涵盖国外经典文献的成熟模式,又包含国内自主设计的创新算法,总体性能不亚于基于国际密码算法的同类方案。

国内外密码学者通过引入新的设计范式,逐步实现了对数级或常数级的环签名时空开销。Bootle

等^[27]指出, 目前高效的环签名方案通常需要依赖于一个维护主密钥的信任机构, 或者采用基于累加器的方法。通过引入优化的预处理参数, 其构建了首个签名大小和验证时间均为对数级的可链接环签名 (LRS, linkable ring signature) 方案 DualDory, 且不需要任何信任机制。Hui 等^[28]发现了能够破坏 DualDory^[27]链接性的攻击, 并提出改进方案 LL-Ring-P 以完善其安全性, 二者具有相似的时空效率。以上 2 个 LRS 方案的签名大小和验证开销虽与环规模成对数关系, 但其签名开销是线性的且包含较多耗时的双线性对运算, 并且其验证过程依赖预计算, 即仅在静态环时才能实现对数级的验证开销, 以上特性限制了其在签名密集和动态场景中的适用性。此外, Hui 等^[28]还提出了一个不依赖双线性对的 LRS 方案 LLRing-DL, 其验证开销是线性的, 但面对小环时计算耗时更低。Xie 等^[29]设计的 LRS 方案通过引入基于双线性对的新型集合成员证明 (SMA, set membership argument) 实现了常量大小的签名, 并且将验证过程的群幂运算和双线性对次数优化为常量 (仅有限域乘法是线性的), 但其签名过程仍包含线性的耗时运算。在目前的公开文献中, 尚未见到在动态环时实现签名和验证开销同为常数级的环签名方案。可见, 虽然环成员的信息必然以某种形式参与签名和验证过程 (因此难以实现真正意义上的常数级计算开销), 但将此线性部分完全置于轻量运算, 进而使高耗时运算次数为常数, 仍是实现常数级计算开销的有效途径。

可证安全性是公钥密码研究的重要部分。分叉引理由 Pointcheval 等^[30]提出, 已成为证明数字签名不可伪造性的核心工具。文献[31-33]在其基础上逐步扩展分叉引理的适用范围, 依次建立了一般环签名、标识签名和标识环签名的形式化安全分析框架。特别地, 赖建昌等^[34]在 RO 模型下基于 q -SDH 假设严格证明了 SM9 数字签名算法满足自适应选择消息和身份攻击下的存在性不可伪造 (EUF-CMIA, existential unforgeability under adaptive chosen-message-and-identity attack) 安全性, 为国密算法的安全应用提供了理论保障。

2 标识环签名概述

本节对符号含义、困难问题、系统模型和安全模型进行描述。

2.1 符号含义

表 1 列出了本文使用的主要符号及其含义, 其余符号在首次出现时定义。

符号	含义
G_1, G_2	椭圆曲线加法循环群
G_T	乘法循环群
N	大素数, 群 G_1, G_2, G_T 的阶
P_1, P_2	群 G_1, G_2 的生成元
Z_N^*	$[1, N-1]$ 范围内整数构成的群
Z_N	$[0, N-1]$ 范围内整数构成的群
λ	安全参数
params	系统公开参数
msk	签名主私钥
ID	用户身份标识
M	待签名消息
U	环成员集合 $\{ID_1, ID_2, \dots, ID_n\}$
ds	用户签名私钥
σ	环签名消息
ψ	同态映射: $G_2 \rightarrow G_1$
$x \in_R X$	从 X (集合、群等) 中随机选择元素 x
negl(λ)	可忽略函数, 输出随 λ 扩大而迅速趋零
$[k]V$	椭圆曲线点 V 的 k 倍 (标量乘)
H_1, H_2	哈希函数: $\{0,1\}^* \rightarrow Z_N^*$
$x \parallel y$	x 与 y 的字节串拼接
e	双线性对: $G_1 \times G_2 \rightarrow G_T$

为避免与公开参数 P_1, P_2 混淆, 另以 P, Q 指代困难问题实例中群 G_1, G_2 的生成元。

2.2 困难问题

标识签名的安全性依赖 q -SDH 假设^[34]。

定义 1 q -SDH 问题 (q -strong Diffie-Hellman problem)。令秘密整数 $a \in Z_N^*$, 给定实例 $(P, Q, [a]Q, [a^2]Q, \dots, [a^q]Q) \in G_1 \times G_2^{q+1}$, 且满足 $[a^i]P = \psi([a^i]Q), i = 0, 1, \dots, q$, 计算任意一组 $(c, [\frac{1}{c+a}]P)$, 其中 $c \in Z_N$ 。

如果该问题在多项式时间的求解概率可忽略, 则其困难假设成立。

2.3 系统模型

IBRS 方案一般包含 Setup、KeyGen、RingSign 和 RingVerify 这 4 个算法^[11], 其概要信息如表 2 所

表 2 IBRS 系统模型

算法名称	中文含义	执行者	算法性质	输入	输出
Setup	系统建立	KGC	PPT 算法	λ	params, msk
KeyGen	用户签名私钥生成	KGC	确定性算法	params, ID, msk	ds
RingSign	环签名生成	签名者	PPT 算法	params, M, U, ds	σ
RingVerify	环签名验证	验证者	确定性算法	params, M, U, σ	accept / reject

示。其中, KGC 表示密钥生成中心, PPT 表示概率多项式时间, 签名者标识 $ID \in U$, 验证者可由知晓系统公开参数的任意实体担任, 验证通过输出 accept, 否则输出 reject。方案的运行流程如图 1

$$\Pr \left[\text{RingVerify}(\mathbf{params}, M, U, \sigma) \rightarrow \text{accept} \mid \begin{array}{l} \text{Setup}(\lambda) \rightarrow (\mathbf{params}, \mathbf{msk}) \\ \text{KeyGen}(\mathbf{params}, \text{ID}, \mathbf{msk}) \rightarrow \text{ds} \\ \text{RingSign}(\mathbf{params}, M, U, \text{ds}) \rightarrow \sigma \end{array} \right] = 1 \quad (1)$$

$$\Pr \left[\text{RingVerify}(\mathbf{params}, M, U, \sigma') \rightarrow \text{accept} \mid \begin{array}{l} \text{Setup}(\lambda) \rightarrow (\mathbf{params}, \mathbf{msk}) \\ \text{FakeSign}(\mathbf{params}, M, U) \rightarrow \sigma' \end{array} \right] \leq \text{negl}(\lambda) \quad (2)$$

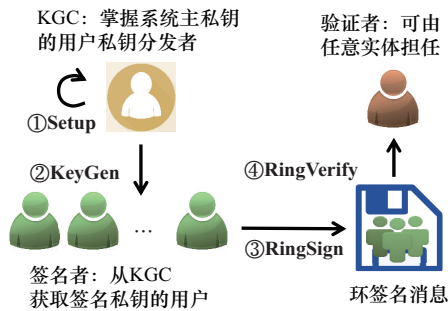


图 1 方案运行流程

2.4 安全模型

IBRS 方案必须实现 2 项安全性^[35]: EUF-CMIA; 匿名性。

定义 2 EUF-CMIA。该性质由挑战者 C 与 PPT 敌手 A 的交互游戏定义。

1) 初始化。 C 生成 $(\mathbf{params}, \mathbf{msk})$ 并公开 \mathbf{params} 。

2) 询问。 A 按需向 C 查询私钥或签名。

3) 伪造。 A 输出挑战用户集合 U^* 、消息 M^* 和环签名 σ^* (U^* 中标识对应的私钥及 U^* 对 M^* 的签名均未被询问)。若 σ^* 通过验证, 则 A 获胜。

若 A 获胜的优势 $\text{Adv}_A^{\text{EUF}} = \Pr[\text{RingVerify}(\mathbf{params}, M^*, U^*, \sigma^*) \rightarrow \text{accept}] \leq \text{negl}(\lambda)$, 则称 IBRS 方案满足 EUF-CMIA 安全性。

定义 3 匿名性。与定义 2 的游戏框架类似, 步骤 1) 和步骤 2) 相同, 区别如下。

3) 挑战。 A 指定挑战用户集合 U^* 、消息 M^* 和

所示。

IBRS 方案必须满足: 合法签名通过验证, 非法签名的通过概率可忽略。令 FakeSign 为非法签名算法, 则式(1)和式(2)成立。

2 个标识 $ID_1^*, ID_2^* \in U^*$ 。 C 选择 $b \in_{\mathbb{R}} \{0, 1\}$, 以 ID_b^* 的私钥生成 U^* 对 M^* 的签名 σ^* , 并将 σ^* 发送给 A 。

4) 猜测。 A 输出 $b' \in \{0, 1\}$ 。若 $b' = b$, 则 A 获胜。

若 A 获胜的优势 $\text{Adv}_A^{\text{ANON}} = \Pr[b' = b] - \frac{1}{2} \leq \text{negl}(\lambda)$, 则称 IBRS 方案满足匿名性。

3 方案构造

本节对基于 SM9 的环签名方案的各个算法进行详细描述。

3.1 Setup

KGC 选定一个 1 B 大小的签名私钥生成函数识别符 hid, 生成签名主私钥 $\text{ks} \in_{\mathbb{R}} Z_N^*$, 计算签名主公钥 $P_{\text{pub-s}} = [\text{ks}] P_2 \in G_2$, 公开 $P_{\text{pub-s}}$ 和 hid。

3.2 KeyGen

设用户标识为 ID, KGC 计算 $v = H_1(\text{ID} \parallel \text{hid}, N) \in Z_N^*$, $\text{ds} = \left[\frac{\text{ks}}{v + \text{ks}} \right] P_1 \in G_1$, 以秘密渠道向用户发送签名私钥 ds。若 $v + \text{ks} = 0$, 则主密钥 $(\text{ks}, P_{\text{pub-s}})$ 和全部用户的私钥均需更换。为简化表述, 后文以 $H_1(\text{ID})$ 指代 $H_1(\text{ID} \parallel \text{hid}, N)$ 。

3.3 RingSign

令签名者标识为 $ID_{\pi} \in U$ (U 中包含 n 个成员, $\pi \in \{1, 2, \dots, n\}$), 其私钥记为 ds_{π} 。签名者预先计算 $g_0 = e(P_1, P_{\text{pub-s}}) \in G_T$, $g_1 = e(\text{ds}_{\pi}, P_2) \in G_T$, $g_2 = e(\text{ds}_{\pi}, P_{\text{pub-s}}) \in G_T$, 后续计算步骤如下。

- 1) $r, r_0 \in {}_R Z_N^*, \omega = g_0^{r r_0} \in G_{T^0}$
- 2) $v_i = H_1(\text{ID}_i) \in Z_N^*, i = 1, \dots, \pi-1, \pi+1, \dots, n_0$
- 3) $r_1, r_2, \dots, r_{\pi-1}, r_{\pi+1}, \dots, r_n, \rho \in {}_R Z_N^*, \beta =$

$$\left(g_1^{r \sum_{i=1, i \neq \pi}^n r_i v_i} \cdot g_2^{r \sum_{i=1, i \neq \pi}^n r_i} \cdot g_0^{r \rho} \right)^{-1} \in G_{T^0}$$
- 4) $h = H_2(U \| M \| \omega \| \beta) \in Z_N^*$
- 5) $r_\pi = \frac{r r_0 - h}{r} + \rho \in Z_N^*$, 若 $r_\pi = 0$, 则返回

步骤 1)。

- 6) $S = [r] \text{ds}_\pi \in G_1$ 。
- 7) 输出环签名消息 $\sigma = (h, S, \beta, r_1, r_2, \dots, r_n)$ 。

3.4 RingVerify

验证者预先计算 $g_0 = e(P_1, P_{\text{pub-s}}) \in G_T$, 收到 U 对 M' 的环签名消息 $\sigma' = (h', S', \beta', r_1', r_2', \dots, r_n')$ 后, 验证步骤如下。

- 1) 检查 $h', r_1', r_2', \dots, r_n' \in Z_N^*, S' \in G_1$ 和 $\beta' \in G_T$, 若任一项不符合, 则输出 reject。
- 2) $v_i = H_1(\text{ID}'_i) \in Z_N^*, i = 1, 2, \dots, n_0$
- 3) $\omega' = e(S', \left[\sum_{i=1}^n r_i' v_i \right] P_2 + \left[\sum_{i=1}^n r_i' \right] P_{\text{pub-s}}) g_0^{h'} \cdot \beta' \in G_{T^0}$
- 4) $h'' = H_2(U' \| M' \| \omega' \| \beta') \in Z_N^*$
- 5) 若 $h'' = h'$, 输出 accept, 否则输出 reject。

4 方案性质推导与证明

本节通过理论推导和安全规约, 证明方案的正确性、不可伪造性和匿名性。

4.1 正确性

若签名与验证双方正确运行算法, 且 $U = U', M = M', \sigma = \sigma', \omega'$ 推导如下。

$$\begin{aligned} \omega' &= e(S', \left[\sum_{i=1}^n r_i' v_i \right] P_2 + \left[\sum_{i=1}^n r_i' \right] P_{\text{pub-s}}) \cdot g_0^{h'} \cdot \beta' = \\ &= e([r] \text{ds}_\pi, \left[\sum_{i=1}^n r_i v_i \right] P_2 + \left[\sum_{i=1}^n r_i \right] P_{\text{pub-s}}) \cdot g_0^{h'} \cdot \\ &= \left(g_1^{r \sum_{i=1, i \neq \pi}^n r_i v_i} \cdot g_2^{r \sum_{i=1, i \neq \pi}^n r_i} \cdot g_0^{r \rho} \right)^{-1} \cdot \\ &= e(\text{ds}_\pi, P_2)^{r \sum_{i=1}^n r_i v_i} + e(\text{ds}_\pi, P_{\text{pub-s}})^{r \sum_{i=1}^n r_i} \cdot g_0^{h-r\rho} \cdot \\ &= e(\text{ds}_\pi, P_2)^{-r \sum_{i=1, i \neq \pi}^n r_i v_i} \cdot e(\text{ds}_\pi, P_{\text{pub-s}})^{-r \sum_{i=1, i \neq \pi}^n r_i} = \\ &= e(\text{ds}_\pi, P_2)^{r r_\pi v_\pi} \cdot e(\text{ds}_\pi, P_{\text{pub-s}})^{r r_\pi} \cdot g_0^{h-r\rho} = \end{aligned}$$

$$\begin{aligned} &= e(\text{ds}_\pi, [r r_\pi] ([v_\pi] P_2 + P_{\text{pub-s}})) \cdot g_0^{h-r\rho} = \\ &= e\left(\left[\frac{\text{ks}}{v_\pi + \text{ks}}\right] P_1, \left[r \left(\frac{r r_0 - h}{r} + \rho\right) (v_\pi + \text{ks})\right] P_2\right) \cdot g_0^{h-r\rho} = \\ &= e([\text{ks}] P_1, [r r_0 - h + r\rho] P_2) \cdot g_0^{h-r\rho} = \\ &= g_0^{r r_0 - h + r\rho} \cdot g_0^{h-r\rho} = g_0^{r r_0} = \omega \end{aligned}$$

故 $h'' = H_2(U \| M \| \omega \| \beta) = h$ 。因此, 本文方案满足正确性。

4.2 不可伪造性

本文方案的不可伪造性由 EUF-CMIA 模型定义。

定理 1 若 H_1, H_2 为 RO, 且 q -SDH 问题是困难的, 则本文方案在 EUF-CMIA 模型下是安全的。

证明 假设 EUF-CMIA 模型中的 PPT 敌手 A 获胜的优势 ε 不可忽略, 则可构建模拟器 B 求解 q -SDH 问题。 B 接收 q -SDH 问题实例 $(P, Q, [a] Q, [a^2] Q, \dots, [a^q] Q)$ 后, 与 A 的交互如下。

1) 初始化。 B 生成 $q+1$ 个两两互异的整数 $w^*, w_1, w_2, \dots, w_q \in {}_R Z_N^*$, 令多项式 $f(x) = \prod_{i=1}^q (w_i + x)$, 由问题实例和 $f(x)$ 计算 $P_1 = [f(a)]P, P_2 = Q, P_{\text{pub-s}} = [a]Q$ ($\text{ks} = a$ 隐式存在), 生成 $i^* \in {}_R \{1, 2, \dots, q\}$, 建立 2 个记录哈希询问的列表 L_1, L_2 。

2) 哈希询问。 H_1 和 H_2 是 B 掌握的 RO, 令非重复询问数分别为 q_{H_1}, q_{H_2} , 且 $q_{H_1} = q_0$ 。 A (或 B 自身) 随时可发起询问, 若 L_1 或 L_2 存在询问记录, 则直接答复, 否则 B 的处理方式如下。

① H_1 询问。 设第 i 次询问的输入为 ID_i , 答复 $H_1(\text{ID}_i) = \begin{cases} w^*, i = i^* \\ w_i, i \neq i^* \end{cases}$, 将 $(i, \text{ID}_i, H_1(\text{ID}_i))$ 记录至 L_1 。

② H_2 询问。 设第 j 次询问的输入为 U_j, M_j 以及 $\omega_j, \beta_j \in G_T$, 生成 $h_j \in {}_R Z_N^*$, 答复 $H_2(U_j \| M_j \| \omega_j \| \beta_j) = h_j$, 将 $(j, U_j, M_j, \omega_j, \beta_j, h_j)$ 记录至 L_2 。

3) 询问。 该阶段 A 可按需向 B 进行以下询问。

① 私钥询问。 设输入为 ID_i , B 查找 L_1 记录 $(i, \text{ID}_i, H_1(\text{ID}_i))$ (若无, 先进行 H_1 询问)。 若 $i = i^*$, 则中止; 否则, B 令多项式 $f_i(x) = x \prod_{j=1, j \neq i}^q (w_j + x)$, 由问题实例和 $f_i(x)$ 计算其签名私钥 $\text{ds}_i = [f_i(a)]P = \left[\frac{a \cdot f_i(a)}{w_i + a} \right] P = \left[\frac{\text{ks}}{H_1(\text{ID}_i) + \text{ks}} \right] P_1$ 并返回。

② 签名询问。 设输入为 U 和 M , B 选择 $\text{ID}_\pi \in {}_R U$ ($\pi \neq i^*$), 利用私钥 ds_π 计算环签名 σ 并返回。

4) 伪造。A 输出挑战用户集合 $U^* = \{\text{ID}_1^*, \text{ID}_2^*, \dots, \text{ID}_n^*\}$ 、消息 M^* 和环签名 σ^* (U^* 中标识对应的私钥及 U^* 对 M^* 的签名均未被询问)。若 $\text{ID}_{i^*} \notin U^*$, 则中止; 否则, 根据分叉引理, 若 A 在未持有 U^* 中任一用户私钥时伪造了有效的 σ^* , 则 B 可构造图灵机 A' , 在 A 的帮助下以同一输入 (M^*, U^*) 获取 2 个有效的环签名 $\sigma_1^* = (h_1^*, S^*, \beta^*, r_1^*, \dots, r_{\pi-1}^*, r_{\pi,1}^*, r_{\pi+1}^*, \dots, r_n^*)$ 和 $\sigma_2^* = (h_2^*, S^*, \beta^*, r_1^*, \dots, r_{\pi-1}^*, r_{\pi,2}^*, r_{\pi+1}^*, \dots, r_n^*)$, 满足 $h_1^* \neq h_2^*, r_{\pi,1}^* \neq r_{\pi,2}^*$ 。若 $\text{ID}_{\pi^*} \neq \text{ID}_{i^*}$, 则中止; 否则, 令 $\frac{x \cdot f(x)}{w^* + x} = F(x) + \frac{d}{w^* + x}$, 多项式 $F(x)$ 的系数和非零整数 d 可由 w^* 和 $f(x)$ 计算。B 计算 $W^* = \left[\frac{1}{d} \right] \left(\left[\frac{r_{\pi,1}^* - r_{\pi,2}^*}{h_2^* - h_1^*} \right] S^* - [F(a)] P \right)$, 输出 (w^*, W^*) 作为 q -SDH 问题实例的解。

$$\begin{aligned} & \text{由于 } r_{\pi,1}^* = \frac{r^* r_0^* - h_1^*}{r^*} + \rho, \quad r_{\pi,2}^* = \frac{r^* r_0^* - h_2^*}{r^*} + \rho, \\ & S^* = [r^*] \text{ds}_{i^*} = \left[\frac{r^* a}{w^* + a} \right] P_1 = \left[\frac{r^* a \cdot f(a)}{w^* + a} \right] P, \text{ 则有} \\ & W^* = \left[\frac{1}{d} \right] \left(\left[\frac{r_{\pi,1}^* - r_{\pi,2}^*}{h_2^* - h_1^*} \right] S^* - [F(a)] P \right) = \\ & \left[\frac{1}{d} \left(\frac{(r^* r_0^* - h_1^*) - (r^* r_0^* - h_2^*)}{r^* (h_2^* - h_1^*)} \cdot \frac{r^* a \cdot f(a)}{w^* + a} - F(a) \right) \right] P = \\ & \left[\frac{1}{d} \left(\frac{a \cdot f(a)}{w^* + a} - F(a) \right) \right] P = \\ & \left[\frac{1}{d} \left(F(a) + \frac{d}{w^* + a} - F(a) \right) \right] P = \left[\frac{1}{w^* + a} \right] P \end{aligned}$$

故 (w^*, W^*) 是有效的解。

只有当 B 成功模拟、A 伪造私钥的标识恰好为 ID_{i^*} (概率为 $\frac{1}{q_{H_1}}$), 且此时 A 伪造的签名有效 (优

势为 ε) 时, B 才能成功求解 q -SDH 问题。由于其概率 $\frac{\varepsilon}{q_{H_1}}$ 不可忽略, 与 q -SDH 假设相矛盾, 故本文

方案在 EUF-CMIA 模型下是安全的。证毕。

4.3 匿名性

本文方案具备完全匿名性, 即使系统签名主私钥泄露或敌手具有无限计算能力, 也无法辨别环签名消息的实际签名者。

定理 2 如果环签名生成时的随机数源符合均匀分布, 则本文方案满足匿名性。

证明 设环签名 $\sigma = (h, S, \beta, r_1, r_2, \dots, r_n)$ 由 U 中用户生成。假设签名者为 ID_{π_1} ($\pi_1 \in \{1, 2, \dots, n\}$),

$$\text{则 } r_{\pi_1} = \frac{r r_0 - h}{r} + \rho, \quad S = [r] \text{ds}_{\pi_1} = \left[\frac{r \cdot \text{ks}}{v_{\pi_1} + \text{ks}} \right] P_1$$

$$\beta = \left(g_1^{r \sum_{i=1, i \neq \pi_1}^n r_i v_i} \cdot g_2^{r \sum_{i=1, i \neq \pi_1}^n r_i} \cdot g_0^{r \rho} \right)^{-1} =$$

$$e(\text{ds}_{\pi_1}, [-r \sum_{i=1, i \neq \pi_1}^n r_i (v_i + \text{ks})] P_2) \cdot g_0^{-r \rho} =$$

$$e \left([\text{ks}] P_1, \left[\frac{-r \sum_{i=1, i \neq \pi_1}^n r_i (v_i + \text{ks})}{v_{\pi_1} + \text{ks}} - r \rho \right] P_2 \right)$$

而签名者也可视为 ID_{π_2} ($\pi_2 \in \{1, 2, \dots, n\} \setminus \{\pi_1\}$), 这是因为, 令 $r' = \frac{r(v_{\pi_2} + \text{ks})}{v_{\pi_1} + \text{ks}}$, $\rho' = r_{\pi_2} + \frac{(v_{\pi_1} + \text{ks})(h - r r_0)}{r(v_{\pi_2} + \text{ks})}$, 有 $r' \rho' = r' r_{\pi_2} + h - r r_0$, 则

$$S = \left[\frac{r(v_{\pi_2} + \text{ks})}{v_{\pi_1} + \text{ks}} \cdot \frac{\text{ks}}{v_{\pi_2} + \text{ks}} \right] P_1 = [r'] \text{ds}_{\pi_2}$$

$$\beta = e \left([\text{ks}] P_1, \left[\frac{-r(v_{\pi_2} + \text{ks}) \sum_{i=1, i \neq \pi_2}^n r_i (v_i + \text{ks})}{(v_{\pi_1} + \text{ks})(v_{\pi_2} + \text{ks})} + r r_{\pi_1} - \frac{r r_{\pi_2} (v_{\pi_2} + \text{ks})}{v_{\pi_1} + \text{ks}} - r \rho \right] P_2 \right) =$$

$$e \left([\text{ks}] P_1, \left[\frac{-r' \sum_{i=1, i \neq \pi_2}^n r_i (v_i + \text{ks})}{(v_{\pi_2} + \text{ks})} + r r_0 - h + r \rho - r' r_{\pi_2} - r \rho \right] P_2 \right) =$$

$$e(\text{ds}_{\pi_2}, [-r' \sum_{i=1, i \neq \pi_2}^n r_i (v_i + \text{ks})] P_2) \cdot g_0^{-r' \rho'} = \left(e(\text{ds}_{\pi_2}, P_2)^{r' \sum_{i=1, i \neq \pi_2}^n r_i v_i} \cdot e(\text{ds}_{\pi_2}, P_{\text{pub-s}})^{r' \sum_{i=1, i \neq \pi_2}^n r_i} \cdot g_0^{r' \rho'} \right)^{-1}$$

又因为 $r_{\pi_2} = \frac{r'r_0' - h}{r'} + \rho'$, 则 $r_0' = \frac{r'r_{\pi_2} + h - r'\rho'}{r'}$, 且 $r'r_0' = r r_0$, 即 σ

同样符合由 ID_{π_2} 作为签名者的计算过程推导。

当环签名过程采用的随机数源满足均匀分布时, 签名者 ID_{π_1} 的随机数 $(r, r_0, r_1, \dots, r_{\pi_1-1}, r_{\pi_1+1}, \dots, r_n, \rho)$ 和签名者 ID_{π_2} 的随机数 $(r', r_0', r_1, \dots, r_{\pi_2-1}, r_{\pi_2+1}, \dots, r_n, \rho')$ 都是随机且独立的, 即使在计算能力无限且掌握主私钥 ks 的敌手来看, 判断 σ 的签名者是 ID_{π_1} 还是 ID_{π_2} 时仍无任何优势, 故无法在集合 U 内辨认实际签名者。因此, 本文方案满足完全匿名性。证毕。

5 性能分析与实验

本节在理论和实测层面, 将本文方案的性能与同类方案^[11-14]以及国际文献中的代表性方案^[27-29]进行对比。

5.1 性能分析

首先量化各方案的计算开销和通信开销。表 3 列举了私钥生成、环签名生成和环签名验证这 3 个算法中各项耗时运算的次数。其中, SM_1, SM_2 分别表示群 G_1, G_2 上的标量乘, E 表示群 G_T 上的幂, BP 表示双线性对, n 表示环成员数量, $-$ 表示无上述耗时运算。有限域 F_N 上的运算、群 G_1, G_2 加法、群 G_T 乘法、哈希运算 H_1, H_2 等低耗时运算 (合计占比不足 2%) 以及预计算步骤未计入分析结果。

本文方案的环签名生成与验证不需要像文献^[11-12]方案对每个环成员逐项计算, 也未引入文献^[13-14]

方案的密码累加器, 而是通过相对轻量的有限域运算合并环成员信息, 将各项耗时运算的次数降至常数级。此外, DualDory^[27]和 LLRing-P^[28]的对数级验证开销是静态环开销, 所需的预计算量分别为 $3nBP$ 和 $3nBP + nSM_1$, 二者在动态环时的验证开销仍是线性的。

对于通信开销, 各方案系统公钥、用户私钥和环签名数据的长度如表 4 所示。其中, $|G_1| = 33 \text{ B}$ 、 $|G_2| = 65 \text{ B}$ 、 $|G_T| = 384 \text{ B}$ 、 $|Z_M| = 32 \text{ B}$ 表示对应群元素的比特数^[9], q 表示环成员的最大数量, N, P_1, P_2 等标准文件规定的公共参数未计入系统公钥。

表 4 环签名方案的通信开销

方案	系统公钥	用户私钥	环签名数据
文献[11]	$ G_2 $	$ G_1 $	$n G_1 + Z_M $
文献[12]	$ G_2 $	$ G_1 $	$ G_1 + (n + 1) Z_M $
文献[13]	$2 G_2 + (q + 4) G_1 $	$ G_1 $	$2 G_T + 6 G_1 + 8 Z_M $
文献[14]	$2 G_2 + q G_1 $	$ G_1 $	$ G_2 + 2 G_1 + Z_M $
DualDory ^[27]	$q G_2 + q G_1 $	$ Z_M $	$6\log n G_T + 2 G_2 + 7 G_1 $
LLRing-P ^[28]	$q G_2 + q G_1 $	$ Z_M $	$(6\log n + 10) G_T + 11 Z_M $
文献[29]	$q G_2 + 2q G_1 $	$ Z_M $	$5 G_2 + 10 G_1 + Z_M $
本文方案	$ G_2 $	$ G_1 $	$ G_T + G_1 + (n + 1) Z_M $

文献^[11-12]方案及本文方案的公私钥与标准 SM9 数字签名算法一致。文献^[13-14,29]方案以系统公钥与 q 线性相关为代价, 实现常数级环签名长度; 文献^[27-28]方案的环签名长度为对数级; 其余方案的环签名长度与 n 线性相关; 本文方案的环签

表 3 环签名方案的计算开销

方案	私钥生成	环签名生成	环签名验证
文献[11]	SM_1	$(n + 1)SM_1 + (n - 1)SM_2 + (n - 1)E + nBP$	$nSM_2 + nE + nBP$
文献[12]	SM_1	$SM_1 + (3n - 2)E$	$3nE + 2BP$
文献[13]	SM_1	$(2n + 13)SM_1 + 4E + 2BP$	$(n + 13)SM_1 + 5E + 5BP$
文献[14]	SM_1	$(2n + 4)SM_1 + SM_2 + E + BP$	$(n + 1)SM_1 + E + 3BP$
DualDory ^[27]	SM_1	$3nSM_1 + 2nSM_2 + 10nBP$	$10\log n E$
LLRing-P ^[28]	SM_1	$2nSM_1 + 2nSM_2 + 10nBP$	$10\log n E$
文献[29]	—	$(4n + 12)SM_1 + 2nSM_2$	$5SM_1 + 7SM_2 + 17BP$
本文方案	SM_1	$SM_1 + 4E$	$2SM_2 + E + BP$

名数据相较文献[12]增加 1 个群 G_T 元素。

5.2 实验测试

基于 Python 国密算法库 hggm^[36] 实现各方案并进行对比测试。实验计算机配置如表 5 所示。

表 5 实验计算机配置

项目	配置
设备类型	PC
操作系统	Windows10 64 位
CPU	Intel Core i3-10110U (2 核心 4 线程)
内存	8 GB LPDDR3 2 133 MHz
硬盘	SAMSUNG MZVLB512HBJQ-000L7
Python 版本	3.7.1

设环成员数量 n 为 4、16、64、256、1 024, 各方案环签名生成与验证耗时如表 6 所示 (单位为 ms, 每项实验中表现最佳和次佳的数据分别加粗和加下划线), 本文方案相较文献[12,14,29]方案的计算性能加速比如图 2 所示。结果为 500 次测试均值, 不含预计算开销。

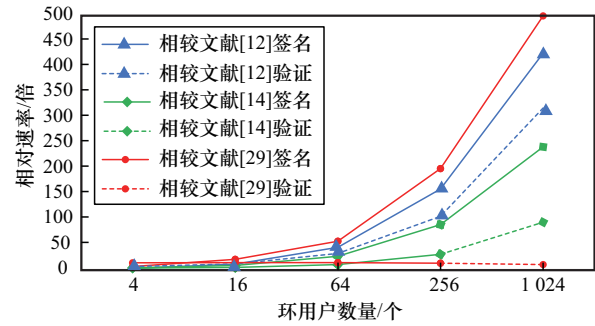


图 2 本文方案相较其他方案的计算性能加速比

由表 4 和表 6 可知, 当 n 由 4 增至 1 024 时, 本文方案签名与验证、文献[29]方案验证的耗时涨幅较小, 近似地实现了常数级开销, 文献[27-28]方案的验证耗时呈对数级增长, 而其他方案/算法的耗时均随 n 线性增长。当 $n = 1 024$ 时, 相较本实验中的次佳方案 (文献[14]签名和文献[29]验证), 本文方案的签名与验证效率分别为其 241.61 倍和 10.11 倍; 即使计入通信开销 (文献[14,29]方案及本文方案需传递的环签名长度分别为 163 B、687 B 和 33 217 B), 在 100 Mbit/s 带宽下, 本文方案综合效率分别为二者的 226.15 倍和 9.61 倍; 在 1 Mbit/s 带宽下, 本文

表 6 各个算法测试结果

方案	算法	环成员数量/个					
		4	16	64	256	1 024	
文献[11]	环签名生成	120.64	518.89	2081.45	8 318.94	33.79×10 ³	
文献[12]		<u>48.29</u>	227.20	940.43	3 844.81	15.79×10 ³	
文献[13]		114.26	215.55	602.45	2 179.59	9 027.81	
文献[14]		71.12	<u>171.43</u>	<u>563.53</u>	<u>2 143.69</u>	<u>8 954.21</u>	
DualDory ^[27]		1 074.79	4 246.11	16.97×10 ³	71.42×10 ³	280.71×10 ³	
LLRing-P ^[28]		1 050.32	4 119.80	16.72×10 ³	67.42×10 ³	278.32×10 ³	
文献[29]		121.53	413.12	1 188.39	4 819.38	18.52×10 ³	
本文方案		19.70	20.65	21.35	24.21	37.06	
文献[11]		环签名验证	123.38	510.07	2 042.32	8 168.26	33.46×10 ³
文献[12]			202.64	377.50	1 081.27	3 895.66	15.46×10 ³
文献[13]	199.33		246.44	440.29	1 230.05	4 655.11	
文献[14]	<u>101.52</u>		<u>149.82</u>	<u>343.99</u>	1 134.24	4 546.05	
DualDory ^[27]	241.18		490.18	739.27	993.78	1 257.53	
LLRing-P ^[28]	234.44		486.63	726.14	985.96	1 234.00	
文献[29]	457.46		468.56	477.89	<u>482.35</u>	<u>491.48</u>	
本文方案	33.38		33.17	33.83	37.17	48.59	

方案综合效率仍为二者的 30.83 倍和 1.64 倍。进一步地（仍令 $n = 1024$ ），本文方案的签名效率具有比较优势的最低带宽为 6.76 kbit/s，验证效率具有比较优势的最低带宽为 79.25 kbit/s。即除少数低带宽场景（如低功耗蓝牙）外，本文方案的综合开销仍优于常数级签名长度的方案。

综上，本文方案将环签名生成与验证开销降至常数级，较现有方案显著提升了计算效率，尤其在较大环规模时优势突出。

6 结束语

本文提出基于国密算法 SM9 的高效环签名方案，核心创新在于通过优化群运算结构，将签名和验证过程中涉及环规模的线性运算转移至轻量级的有限域，使耗时运算（包括椭圆曲线标量乘、群 G_T 上的幂和双线性对）次数降为常数，而现有方案至少有一项耗时运算是线性的。在保持不可伪造性和完全匿名性可证安全的前提下，本文方案实现了计算性能上的突破：即使考虑通信开销，其综合效率仍显著高于环签名定长的最优对比方案。本文方案的不足之处在于环签名长度仍是线性的，不利于环规模较大时的通信和存储，下一步将研究完全常数级的环签名方案。

参考文献：

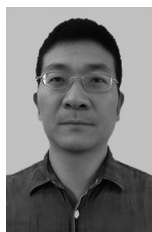
- [1] RIVEST R L, SHAMIR A, TAUMAN Y. How to leak a secret[C]//2001 International Conference on the Theory and Application of Cryptology and Information Security (ASIACRYPT). Berlin: Springer, 2001: 552-565.
- [2] LI X F, MEI Y R, GONG J, et al. A blockchain privacy protection scheme based on ring signature[J]. IEEE Access, 2020, 8: 76765-76772.
- [3] 饶金涛, 崔喆. 基于 SM9 盲签名与环签名的安全电子选举协议[J]. 计算机工程, 2023, 49(6): 13-23, 33.
RAO J T, CUI Z. Secure e-voting protocol based on SM9 blind signature and ring signature[J]. Computer Engineering, 2023, 49(6): 13-23, 33.
- [4] SUN S F, AU M H, LIU J K, et al. RingCT 2.0: a compact accumulator-based (linkable ring signature) protocol for blockchain cryptocurrency monero[C]//2017 European Symposium on Research in Computer Security (ESORICS). Berlin: Springer, 2017: 456-474.
- [5] 薛婧婷, 刘亮, 李发根, 等. 双边隐私保护的能源交易多方计算方案[J]. 密码学报, 2025, 12(1): 96-116.
XUE J T, LIU L, LI F G, et al. Dual-side privacy-preserving multi-party computation for energy trading[J]. Journal of Cryptologic Research, 2025, 12(1): 96-116.
- [6] ABE M, OHKUBO M, SUZUKI K. 1-out-of-n signatures from a variety of keys[C]//Advances in Cryptology-ASIACRYPT 2002. Berlin: Springer, 2002: 415-432.
- [7] ZHANG F G, KIM K. ID-based blind signature and ring signature from pairings[C]//Advances in Cryptology-ASIACRYPT 2002. Berlin: Springer, 2002: 533-547.
- [8] KANG J N, WEN F T. A linkable ring signature scheme on lattice from DualRing[C]//Proceedings of the 2024 6th International Conference on Electronics and Communication, Network and Computer Technology (ECNCT). Piscataway: IEEE Press, 2024: 426-430.
- [9] 国家市场监督管理总局 国家标准化管理委员会. 信息安全技术 SM9 标识密码算法 第 1 部分: 总则: GB/T 38635.1—2020[S]. 北京: 中国标准出版社, 2020.
Standardization Administration of the People's Republic of China. Information security technology—Identity-based cryptographic algorithms SM9: Part 1: General: GB/T 38635.1—2020[S]. Beijing: Standards Press of China, 2020.
- [10] 国家市场监督管理总局 国家标准化管理委员会. 信息安全技术 SM9 标识密码算法 第 2 部分: 算法: GB/T 38635.2—2020[S]. 北京: 中国标准出版社, 2020.
Standardization Administration of the People's Republic of China. Information security technology—Identity-based cryptographic algorithms SM9: Part 2: Algorithms: GB/T 38635.2—2020[S]. Beijing: Standards Press of China, 2020.
- [11] 彭聪, 何德彪, 罗敏, 等. 基于 SM9 标识密码算法的环签名方案[J]. 密码学报, 2021, 8(4): 724-734.
PENG C, HE D B, LUO M, et al. An identity-based ring signature scheme for SM9 algorithm[J]. Journal of Cryptologic Research, 2021, 8(4): 724-734.
- [12] 谢振杰, 张耀, 杨启超, 等. 基于国密算法 SM9 的环签名方案[J]. 计算机科学, 2025, 52(12): 384-390.
XIE Z J, ZHANG Y, YANG Q C, et al. A ring signature scheme based on domestic cryptographic algorithm SM9[J]. Computer Science, 2025, 52(12): 384-390.
- [13] 安浩杨, 何德彪, 包子健, 等. 基于 SM9 数字签名的环签名及其在区块链隐私保护中的应用[J]. 计算机研究与发展, 2023, 60(11): 2545-2554.
AN H Y, HE D B, BAO Z J, et al. Ring signature based on the SM9 digital signature and its application in blockchain privacy protection[J]. Journal of Computer Research and Development, 2023, 60(11): 2545-2554.
- [14] 谢振杰, 尹小康, 蔡瑞杰, 等. 基于国密算法 SM9 的可追踪环签名方案[J]. 通信学报, 2025, 46(3): 199-211.
XIE Z J, YIN X K, CAI R J, et al. Traceable ring signature scheme based on domestic cryptographic algorithm SM9[J]. Journal on Communications, 2025, 46(3): 199-211.
- [15] 蒲浪, 林超, 伍玮, 等. 基于国密 SM9 的公钥认证可搜索加密方案[J]. 软件学报, 2025, 36(9): 4271-4284.
PU L, LIN C, WU W, et al. Public-key authenticated encryption scheme with keyword search from Chinese cryptographic SM9[J]. Journal of Software, 2025, 36(9): 4271-4284.
- [16] 周权, 陈民辉, 卫凯俊, 等. 基于 SM9 的支持策略隐藏的可追踪属性签名[J]. 计算机研究与发展, 2025, 62(4): 1065-1074.
ZHOU Q, CHEN M H, WEI K J, et al. Traceable attribute-based signature for SM9-based support policy hidden[J]. Journal of Computer Research and Development, 2025, 62(4): 1065-1074.
- [17] 刘行, 明洋, 王晨豪, 等. 基于 SM9 的可验证公平标识广播代理重加密[J]. 计算机学报, 2025, 48(3): 721-737.
LIU H, MING Y, WANG C H, et al. Verifiable and fair identity-based broadcast proxy re-encryption based on SM9[J]. Chinese Journal of Computers, 2025, 48(3): 721-737.
- [18] LIU X H, HUANG X Y, CHENG Z H, et al. Fault-tolerant identity-

- based encryption from SM9[J]. Science China Information Sciences, 2024, 67(2): 104-117.
- [19] LIN C Y, WU T C. An identity-based ring signature scheme from bilinear pairings[C]//Proceedings of the 18th International Conference on Advanced Information Networking and Applications - Volume 2. New York: ACM Press, 2004: 182-185.
- [20] HERRANZ J, SÁEZ G. New identity-based ring signature schemes[C]//Information and Communications Security. Berlin: Springer, 2004: 27-39.
- [21] CHOW S S M, YIU S M, HUI L C K. Efficient identity based ring signature[C]//Applied Cryptography and Network Security. Berlin: Springer, 2005: 499-512.
- [22] BRAKERSKI Z, KALAI Y T. A framework for efficient signatures, ring signatures and identity based encryption in the standard model[J]. IACR Cryptology ePrint Archive, 2010(86): 1-45.
- [23] DODIS Y, KIAYIAS A, NICLOSI A, et al. Anonymous identification in ad hoc groups[C]//Advances in Cryptology - EUROCRYPT 2004. Berlin: Springer, 2004: 609-626.
- [24] NGUYEN L. Accumulators from bilinear pairings and applications[C]//Topics in Cryptology-CT-RSA 2005. Berlin: Springer, 2005: 275-292.
- [25] HU C Y, LIU P T. An enhanced constant-size identity-based ring signature scheme[C]//Proceedings of the 2009 2nd IEEE International Conference on Computer Science and Information Technology. Piscataway: IEEE Press, 2009: 587-590.
- [26] 邓浩明, 彭长根, 丁红发, 等. 基于国密 SM9 算法的门槛环签名方案[J]. 计算机技术与发展, 2022, 32(12): 95-102.
DENG H M, PENG C G, DING H F, et al. A threshold ring signature scheme based on GM SM9 algorithm[J]. Computer Technology and Development, 2022, 32(12): 95-102.
- [27] BOOTLE J, ELKHIYAOU K, HESSE J, et al. DualDory: logarithmic-verifier linkable ring signatures through preprocessing[C]//Computer Security - ESORICS 2022. Berlin: Springer, 2022: 427-446.
- [28] HUI X Y, CHAU S C. LLRing: logarithmic linkable ring signatures with transparent setup[C]//Computer Security - ESORICS 2024. Berlin: Springer, 2024: 299-319.
- [29] XIE M, TU Z Z, AU M H, et al. Efficient constant-size linkable ring signatures for ad-hoc rings via pairing-based set membership arguments[C]//Proceedings of the 2025 ACM SIGSAC Conference on Computer and Communications Security. New York: ACM Press, 2025: 858-872.
- [30] POINTCHEVAL D, STERN J. Security arguments for digital signatures and blind signatures[J]. Journal of Cryptology, 2000, 13(3): 361-396.
- [31] HERRANZ J, SÁEZ G. Forking lemmas for ring signature schemes[C]//Progress in Cryptology - INDOCRYPT 2003. Berlin: Springer, 2003: 266-279.
- [32] 周瑾, 张亚娟, 祝跃飞. 一般的基于身份签名体制与 Forking 引理[J]. 信息工程大学学报, 2007, 8(2): 129-133.
ZHOU J, ZHANG Y J, ZHU Y F. Generic ID-based signature schemes and forking lemma[J]. Journal of Information Engineering University, 2007, 8(2): 129-133.
- [33] 周敏, 傅贵, 周权. 分叉引理对一般基于身份环签名体制的证明[J]. 通信技术, 2008, 41(7): 183-184, 188.
ZHOU M, FU G, ZHOU Q. Proof of generic ID-based ring signature by forking lemma[J]. Communications Technology, 2008, 41(7): 183-184, 188.
- [34] 赖建昌, 黄欣沂, 何德彪, 等. 国密 SM9 数字签名和密钥封装算法的安全性分析[J]. 中国科学: 信息科学, 2021, 51(11): 1900-1913.
- LAI J C, HUANG X Y, HE D B, et al. Security analysis of SM9 digital signature and key encapsulation[J]. Scientia Sinica (Informationis), 2021, 51(11): 1900-1913.
- [35] BENDER A, KATZ J, MORSELLI R. Ring signatures: stronger definitions, and constructions without random oracles[J]. Journal of Cryptology, 2009, 22(1): 114-138.
- [36] 谢振杰, 刘奕明, 蔡瑞杰, 等. 国密算法 SM9 的性能优化方法[J]. 计算机科学, 2025, 52(6): 390-396.
XIE Z J, LIU Y M, CAI R J, et al. Performance optimization method for domestic cryptographic algorithm SM9[J]. Computer Science, 2025, 52(6): 390-396.

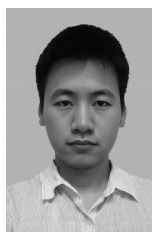
[作者简介]



谢振杰 (1995-), 男, 湖南湘潭人, 信息工程大学博士生, 主要研究方向为云安全、密码学应用。



刘胜利 (1973-), 男, 河南周口人, 博士, 信息工程大学教授、博士生导师, 主要研究方向为网络设备安全、网络攻击检测。



贾志鹏 (2001-), 男, 辽宁兴城人, 信息工程大学博士生, 主要研究方向为物联网设备安全、二进制代码分析。



翟锦源 (2004-), 男, 河南周口人, 信息工程大学助理工程师, 主要研究方向为网络空间安全。



刘成 (2004-), 男, 安徽六安人, 信息工程大学硕士生, 主要研究方向为网络空间安全。